

Обзоры

УДК 541.49+546.04+546.06

Стереоселективные эффекты, термодинамика образования, кинетика реакций замещения и структуры комплексов переходных металлов с биолигандами и ароматическими N-донорами*

В. Г. Штырлин,* Н. Ю. Серов, М. С. Бухаров, Э. М. Гилязетдинов, М. А. Жернаков, М. А. Ахмед, А. Р. Гарифзянов, И. И. Мирзаянов, А. В. Ермолаев, Н. С. Аксенин, К. В. Уразаева, А. В. Захаров

Химический институт имени А. М. Бутлерова,
Казанский (Приволжский) федеральный университет,
Российская Федерация, 420008 Казань, ул. Кремлевская, 18.
Факс: (843) 238 7901. E-mail: Valery.Shtyrlin@gmail.com

В обзоре представлены полученные авторским коллективом в последние годы результаты исследований структуры (в твердом состоянии и в растворах), термодинамики, стереоселективности образования и кинетики реакций замещения ряда гомо- и гетеролигандных комплексов некоторых 3d-элементов с энантиомерно однородными и рацемическими формами аминокислот, природными ди- и трипептидами, ароматическими N-донорами, новыми фосфорилированными дитиокарбаматами и производным гидразона на фоне солей различной концентрации при нескольких температурах. Достоверные результаты получены с использованием комплекса спектральных методов, включая спектрофотометрию, ЭПР, ЯМР-релаксацию и РСА, метода остановленной струи со спектральной регистрацией, а также pH-метрии в сочетании с математическим моделированием с применением ряда современных программ, в том числе авторских. Структуры комплексов в растворах описаны с помощью квантово-химических расчетов методом DFT и путем моделирования методом молекулярной динамики. Выявлены основные факторы, контролирующие стереоселективность комплексообразования, устойчивость комплексов и кинетику реакций замещения лигандов.

Ключевые слова: координационные соединения, термодинамика, кинетика, структура, стереоселективность, спектральные методы, квантовая химия.

Выяснение причин специфичности и селективности процессов в живой природе и связанных

ной с ними биологической активности соединений является крупнейшей проблемой современной науки. В решение этой проблемы значительный вклад способны внести исследования в области координационной и бионеорганической

* По материалам XIX Международной конференции «Спектроскопия координационных соединений» (18–23 сентября 2022 г., г. Туапсе).

химии. С этой целью в данном авторском обзоре рассмотрены полученные коллективом авторов за последние годы наиболее важные результаты исследований структуры, термодинамики, стереоселективности образования и кинетики реакций замещения ряда гомо- и гетеролигандных комплексов 3d-элементов с аминокислотами различной хиральности, природными ди- и трипептидами, ароматическими N-донорными лигандами, фосфорилированными дитиокарбаматами и новым гидразоновым производным на фоне солей различной концентрации при 25.0 и 37.0 °C.¹ Для получения достоверных результатов использованы комплекс взаимодополняющих спектральных методов, метод остановленной струи со спектральной регистрацией и pH-метрия. В расчетах широко использованы методы математического моделирования с помощью ряда современных программ, включая авторские программы STALABS² и STALABS-M.³ Структуры многих комплексов в растворах описаны с помощью квантово-химических расчетов методом DFT и путем моделирования методом молекулярной динамики (МД).

Особо отметим важность методов получения достоверной информации о комплексообразовании в растворах и твердой фазе. В исследовании комплексообразования наиболее прецизионным методом является pH-потенциометрия, с которой необходимо начинать всегда, когда это возможно. После этого требуется подключать спектральные, квантово-химические и иные методы исследования структуры, термодинамики образования и кинетики реакций замещения и обмена лигандов гомо- и гетеролигандных комплексов.

Рассмотрим факторы, определяющие специфичность и селективность комплексообразова-

ния металлов с энантиомерно однородными и рацемическими формами лигандов различной природы.

Ярким примером проявления стереоселективности служат системы никель(II)—L/DL-гистидин (HisH)³. В таблице 1 приведены рассчитанные из данных pH-метрического титрования и спектрофотометрии (СФ-метрии) константы образования бинарных комплексов в данных системах. Стереоселективность комплексообразования оценивается по разности логарифмов констант образования комплексов ($\Delta \lg \beta$) и считается статистически значимой тогда, когда величина $\Delta \lg \beta$ превосходит удвоенную сумму стандартных отклонений каждой из сравниваемых констант (этот отклонения в последней значащей цифре даются в скобках). Как видно из таблицы 1, условию значимой стереоселективности удовлетворяют бис- и трис-комpleксы $[Ni(His)(HisH)]^+$, $Ni(His)_2$, $[Ni(His)(HisH_{-1})]^-$ и $[Ni(His)_3]^-$, причем для трех последних доминирующими являются мезо-формы (формы с энантиомерно разнородными лигандами).

Данные эксперимента, касающиеся энантиоселективности, детально согласуются с результатами квантово-химических расчетов. Здесь и далее расчеты проводились по программам GAMESS⁴ и ORCA⁵ методом DFT⁶ с обменно-корреляционным функционалом B3LYP^{7,8} и функционалом CAM-B3LYP⁹ в базисе TZVP¹⁰, а также на уровне PBE/TZVPP¹¹ при учете растворителя в модели поляризуемого континуума C-PCM.¹² Локальные минимумы энергии во всех расчетах определены с критерием толерантности 10^{-5} ат. ед. Как видно из рисунка 1, по данным расчетов для бис-гистидината никеля(II) предпочтительным оказывается образование DL-формы (мезо-формы). Однако в вакууме и только без

Таблица 1. Логарифмы констант образования ($\lg \beta$) комплексов никеля(II) с L/DL-HisH (25.0 °C, 1.0 M KNO₃, $\Delta \lg \beta = \lg \beta_L - \lg \beta_{DL}$)³

Равновесие	$\lg \beta$		$\Delta \lg \beta$
	L-His	DL-His	
$H^+ + His^- \rightleftharpoons HisH$	9.200(3)	—	—
$H^+ + HisH \rightleftharpoons [HisH_2]^+$	6.265(1)	—	—
$H^+ + HisH_2^+ \rightleftharpoons [HisH_3]^{2+}$	1.986(1)	—	—
$Ni^{2+} + HisH \rightleftharpoons [Ni(HisH)]^+$	2.788(4)	2.791(3)	-0.003
$Ni^{2+} + His^- \rightleftharpoons [Ni(His)]^+$	8.576(1)	8.572(1)	0.004
$Ni^{2+} + His^- + HisH \rightleftharpoons [Ni(His)(HisH)]^+$	10.781(5)	10.757(4)	0.024
$Ni^{2+} + 2 His^- \rightleftharpoons Ni(His)_2$	15.464(1)	15.707(1)	-0.243
$Ni^{2+} + 2 His^- \rightleftharpoons [Ni(His)(HisH_{-1})]^- + H^+$	2.36(1)	2.62(1)	-0.26
$Ni^{2+} + 3 His^- \rightleftharpoons [Ni(His)_3]^-$	15.77(1)	16.20(1)	-0.43

Примечания. Здесь и в таблицах 2–12 в скобках даны стандартные отклонения в последней значащей цифре; курсивом выделены статистически значимые отличия в константах, относящихся к энантиомерно различным формам лигандов.

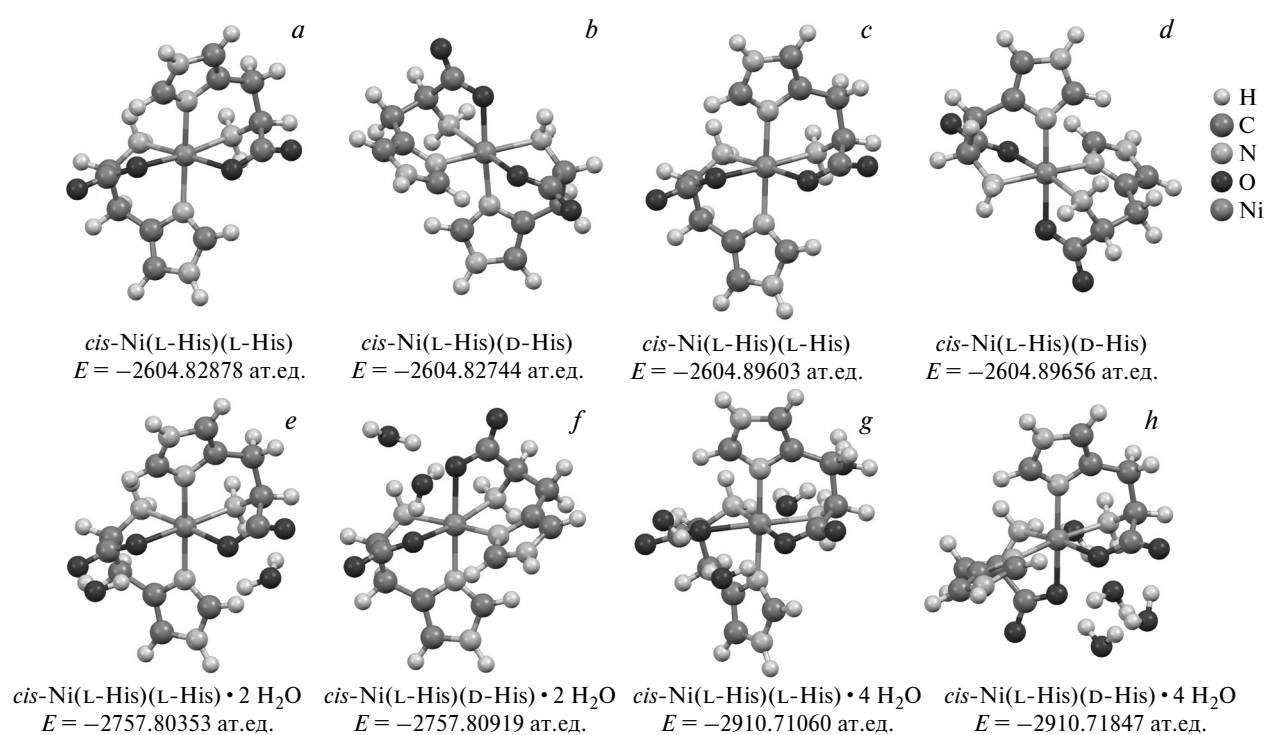


Рис. 1. Структуры и энергии образования наиболее предпочтительных изомеров комплексов $\text{Ni}(\text{His})_2 \cdot n\text{H}_2\text{O}$ ($n = 0, 2, 4$) с различными энантиомерными формами лигандов, оптимизированные на уровне CAM-B3LYP/TZVP для вакуума (*a*, *b*) и с учетом эффектов растворителя в модели C-PCM (*c*–*h*)³.

учета молекул воды в дискретной модели *мезо*-форма оказывается энергетически менее выгодной, чем *LL*-форма. Заслуживают внимания причины такого явления. *цис*-Расположению одинаковых групп соседних лигандов благоприятствует *транс*-влияние, при котором сильные *транс*-агенты избегают расположения на одной координате. Однако при *транс*-расположении объемных имидазольных групп в *LL*-форме ми-

нимизируется стерическое отталкивание между ними. В ситуации, когда с *транс*-влиянием конкурирует стерический эффект, решающий вклад может внести эффект сольватации. Действительно, *цис*-структура *мезо*-формы обладает повышенным дипольным моментом, что благоприятствует ее сольватации диполями воды, и, как следует из рисунка 1, разность энергий образования двух рассмотренных изомеров возрас-

Таблица 2. Логарифмы констант образования ($\lg\beta$) в системах никель(II)–L/D-HisH–L-аминокислота (AspH_2 , GluH_2 , SerH , MetH) (25.0°C , 1.0 M KNO_3)

Равновесие	Аминокислотные остатки	$\lg\beta$	$\Delta\lg\beta$
$\text{Ni}^{2+} + \text{HisH} + \text{Asp}^{2-} \rightleftharpoons \text{Ni}(\text{HisH})(\text{Asp})$	L-Asp, L-His	10.08(3)	
	L-Asp, D-His	10.19(3)	-0.11
$\text{Ni}^{2+} + \text{His}^- + \text{Asp}^{2-} \rightleftharpoons [\text{Ni}(\text{His})(\text{Asp})]^-$	L-Asp, L-His	14.319(5)	
	L-Asp, D-His	14.378(6)	-0.059
$\text{Ni}^{2+} + \text{HisH} + \text{Glu}^{2-} \rightleftharpoons \text{Ni}(\text{HisH})(\text{Glu})$	L-Glu, L-His	9.90(6)	
	L-Glu, D-His	10.03(4)	-0.13
$\text{Ni}^{2+} + \text{His}^- + \text{Glu}^{2-} \rightleftharpoons [\text{Ni}(\text{His})(\text{Glu})]^-$	L-Glu, L-His	13.28(1)	
	L-Glu, D-His	13.28(1)	0.00
$\text{Ni}^{2+} + \text{His}^- + \text{Ser}^- \rightleftharpoons \text{Ni}(\text{His})(\text{Ser})$	L-Ser, L-His	13.117(6)	
	L-Ser, D-His	13.111(7)	0.006
$\text{Ni}^{2+} + \text{Ser}^- + \text{His}^- \rightleftharpoons [\text{Ni}(\text{His})(\text{SerH}_{-1})]^- + \text{H}^+$	L-Ser, L-His	1.776(8)	
	L-Ser, D-His	1.908(8)	-0.132
$\text{Ni}^{2+} + \text{HisH} + \text{Met}^- \rightleftharpoons [\text{Ni}(\text{HisH})(\text{Met})]^+$	L-Met, L-His	9.13(3)	
	L-Met, D-His	9.11(2)	0.02
$\text{Ni}^{2+} + \text{His}^- + \text{Met}^- \rightleftharpoons \text{Ni}(\text{His})(\text{Met})$	L-Met, L-His	13.079(6)	
	L-Met, D-His	13.166(5)	-0.087

тает с увеличением числа молекул воды, введенных в их окружение.

Из данных таблицы 2 очевидна достоверная стереоселективность образования гетеролигандных комплексов никеля(II) с гистидинат-анионом, с одной стороны, и аспаратом (Asp^{2-}), депротонированным по спиртовой группе се-ринатом (SerH_1^{2-}) и метионинатом (Met^-) — с другой, причем во всех трех случаях доминируют *мезо*-формы. Этот факт согласуется с триден-татной координацией приведенных анионов аминокислот в отличие от бидентатной коорди-нации глутамата (Glu^{2-}). Доминирование *мезо*-форм подтверждается и данными кванто-химических расчетов.

Парадоксально, но стереоселективность об-разования не проявляется для гомолигандных комплексов никеля(II) с метионином, однако обнаруживается в гетеролигандных комплексах³.

Как видно из таблицы 3, по данным калориметрии этот эффект имеет энталпийную природу. Согласно кванто-химическим расчетам (рис. 2) в этом комплексе реализуется новый тип слабого взаимодействия между тиометильной и имидазольной группами, чему способствует ко-ординация к металлу атома серы³. Важно отме-тить, что открытый нами новый тип слабого вза-имодействия может проявляться в биологических системах. В целом можно заключить, что стерео-селективное доминирование *мезо*-форм как гомо-, так и гетеролигандных комплексов никеля(II) с аминокислотами согласуется с про-явлением *транс*-влияния в сочетании с эффек-тами гидратации и межлигандного взаимодей-ствия при *цис*-координации лигандов.

В плане сравнения с комплексами никеля(II) интересны сведения о комплексообразовании цинка(II) с аминокислотами^{13,14}. Из данных та-

Таблица 3. Термодинамические параметры комплексообразования в системе никель(II)—L-HisH—L/D-MetH (25.0 °C, 1.0 M KNO_3)³

Равновесие	$\lg\beta$	$\Delta_f G^\circ$	$\Delta_f H^\circ$	$\Delta_f S^\circ/\text{Дж}\cdot(\text{К}\cdot\text{моль})^{-1}$
		кДж·моль ⁻¹	кДж·моль ⁻¹	кДж·моль ⁻¹
$\text{Ni}^{2+} + \text{L}-\text{His}^- \rightleftharpoons [\text{Ni}(\text{L}-\text{His})]^+$	8.576±0.001	-48.92±0.01	-31.40±0.34	58.8±1.1
$\text{Ni}^{2+} + 2 \text{L}-\text{His}^- \rightleftharpoons \text{Ni}(\text{L}-\text{His})_2$	15.464±0.001	-88.19±0.01	-65.84±0.27	74.9±0.9
$\text{Ni}^{2+} + \text{L}/\text{DL}-\text{Met}^- \rightleftharpoons [\text{Ni}(\text{L}/\text{DL}-\text{Met})]^+$	5.305±0.001	-30.37±0.01	-13.80±0.95	55.6±3.2
$\text{Ni}^{2+} + 2 \text{L}/\text{DL}-\text{Met}^- \rightleftharpoons \text{Ni}(\text{L}/\text{DL}-\text{Met})_2$	9.855±0.001	-56.11±0.01	-33.09±0.54	77.2±1.8
$\text{Ni}^{2+} + \text{L}-\text{His}^- + \text{L}-\text{Met}^- \rightleftharpoons \text{Ni}(\text{L}-\text{His})(\text{L}-\text{Met})$	13.079±0.006	-74.66±0.03	-49.64±0.72	83.9±2.4
$\text{Ni}^{2+} + \text{L}-\text{His}^- + \text{D}-\text{Met}^- \rightleftharpoons \text{Ni}(\text{L}-\text{His})(\text{D}-\text{Met})$	13.166±0.005	-75.17±0.03	-51.42±0.57	79.7±1.9

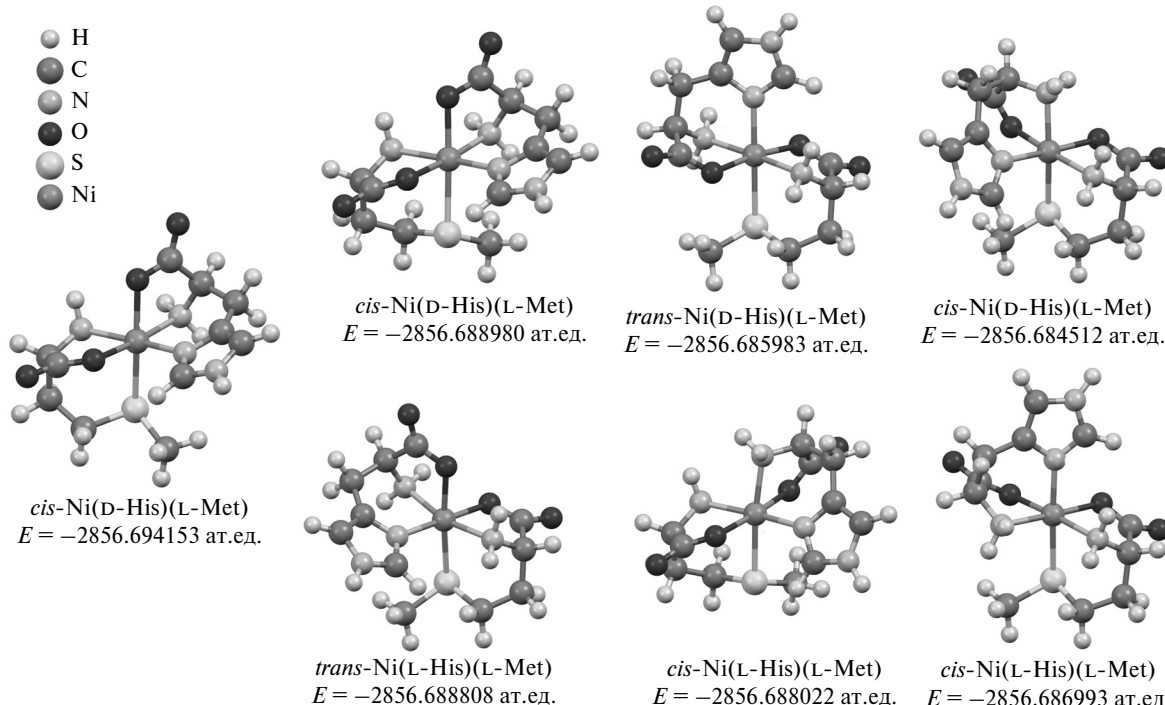


Рис. 2. Структуры и энергии образования возможных изомеров комплексов $\text{Ni}(\text{His})(\text{Met})$ с различными энантиомерными формами лигандов, оптимизированные на уровне CAM-B3LYP/TZVP с учетом эффектов растворителя в модели C-PCM³.

блицы 4 видно, что как и для никеля(II) значимая стереоселективность проявляется в образовании гомолигандного комплекса $\text{Zn}(\text{His})_2$ (в результате $d-\pi$ -взаимодействия), а также бискомплексов с фенилаланином (PheH) и триптофаном (TrpH), что объясняется межлигандным $\pi-\pi$ -стэкинг-взаимодействием. Оба типа этих взаимодействий реализуются в мезо-формах.

Значимая стереоселективность проявляется в образовании гетеролигандных комплексов, содержащих наряду с гистидином также цистеин (CysH), фенилаланин и триптофан (табл. 5). Последние два ароматических лиганда могут участвовать в $\pi-\pi$ -стэкинг-взаимодействии с координированной имидазольной группой именно в мезо-формах. Следует отметить, что в отличие от никеля(II) комплексы цинка(II) чаще предпочтуют псевдотетраэдрическую координацию.

Большой интерес вызывают сведения об образовании комплексов с участием меди(II).

Важным фактором стереоселективности их образования и реакционной способности является открытый нами феномен пентакоординации меди(II) в комплексах с биолигандами в водных растворах^{15,16}. Этот феномен установлен на основе данных ЭПР, ЯМР-релаксации протонов воды, а также квантово-химических расчетов, в частности комплексов меди(II) с иминодиуксусной кислотой (IDAH_2), глицином (GlyH), ди- и триглицином (GGH и GGGH) в окружении 10 молекул воды (рис. 3). Как видно из рисунка 3, во всех данных комплексах фиксируется только одна аксиально-связанная молекула воды, а с противоположной стороны на значительном удалении располагаются кольца из четырех водородно-связанных молекул воды¹⁵.

Пентакоординация меди(II) подтверждается и данными расчетов методом МД, которые выполнены с помощью программного пакета GROMACS¹⁷ с использованием несколько моди-

Таблица 4. Логарифмы констант образования ($\lg\beta$) гомолигандных комплексов цинка(II) с L/DL-аминокислотами (HisH, MetH, PheH, TrpH) (25.0 °C, 1.0 M KNO_3)

Равновесие	$\lg\beta$		$\Delta\lg\beta$
	L	DL	
$\text{Zn}^{2+} + \text{HisH} \rightleftharpoons [\text{Zn}(\text{HisH})]^{2+}$	2.250(2)	2.250(3)	0.000
$\text{Zn}^{2+} + \text{His}^- \rightleftharpoons [\text{Zn}(\text{His})]^+$	6.466(1)	6.462(1)	0.004
$\text{Zn}^{2+} + \text{His}^- + \text{HisH} \rightleftharpoons [\text{Zn}(\text{His})(\text{HisH})]^+$	8.509(2)	8.499(2)	0.010
$\text{Zn}^{2+} + 2 \text{ His}^- \rightleftharpoons \text{Zn}(\text{His})_2$	12.026(1)	12.143(1)	-0.117
$\text{Zn}^{2+} + 2 \text{ His}^- \rightleftharpoons [\text{Zn}(\text{His})_2\text{H}_{-1}]^- + \text{H}^+$	1.336(6)	1.35(1)	-0.014
$\text{Zn}^{2+} + \text{Met}^- \rightleftharpoons [\text{Zn}(\text{Met})]^+$	4.373(2)	4.373(3)	0.000
$\text{Zn}^{2+} + 2 \text{ Met}^- \rightleftharpoons \text{Zn}(\text{Met})_2$	8.180(2)	8.174(5)	0.006
$\text{Zn}^{2+} + \text{Phe}^- \rightleftharpoons [\text{Zn}(\text{Phe})]^+$	4.205(3)	4.202(3)	0.003
$\text{Zn}^{2+} + 2 \text{ Phe}^- \rightleftharpoons \text{Zn}(\text{Phe})_2$	8.162(3)	8.222(2)	-0.060
$\text{Zn}^{2+} + \text{Trp}^- \rightleftharpoons [\text{Zn}(\text{Trp})]^+$	4.38(1)	4.39(2)	0.010
$\text{Zn}^{2+} + 2 \text{ Trp}^- \rightleftharpoons \text{Zn}(\text{Trp})_2$	8.751(4)	8.866(4)	-0.115

Таблица 5. Логарифмы констант образования ($\lg\beta$) гетеролигандных комплексов цинка(II) с L/D-аминокислотами (HisH, CysH, MetH, SerH, TrpH, PheH) (25.0 °C, 1.0 M KNO_3)

Равновесие	Аминокислотные остатки	$\lg\beta$	$\Delta\lg\beta$
$\text{Zn}^{2+} + \text{His}^- + \text{Cys}^{2-} \rightleftharpoons [\text{Zn}(\text{His})(\text{Cys})]^-$	L-Cys, L-His	15.17(1)	
	L-Cys, D-His	15.26(1)	-0.09
$\text{Zn}^{2+} + \text{His}^- + \text{Cys}^{2-} \rightleftharpoons [\text{Zn}(\text{His})(\text{Cys})(\text{OH})]^{2-} + \text{H}^+$	L-Cys, L-His	4.43(2)	
	L-Cys, D-His	4.55(2)	-0.12
$\text{Zn}^{2+} + \text{His}^- + \text{Met}^- \rightleftharpoons \text{Zn}(\text{His})(\text{Met})$	L-Met, L-His	10.427(5)	
	L-Met, D-His	10.435(4)	-0.008
$\text{Zn}^{2+} + \text{His}^- + \text{Ser}^- \rightleftharpoons \text{Zn}(\text{His})(\text{Ser})$	L-Ser, L-His	10.38(1)	
	D-Ser, L-His	10.372(8)	0.01
$\text{Zn}^{2+} + \text{His}^- + \text{Thr}^- \rightleftharpoons \text{Zn}(\text{His})(\text{Thr})$	L-Thr, L-His	10.822(5)	
	L-Thr, D-His	10.824(5)	-0.002
$\text{Zn}^{2+} + \text{His}^- + \text{Phe}^- \rightleftharpoons \text{Zn}(\text{His})(\text{Phe})$	L-Phe, L-His	10.500(4)	
	D-Phe, L-His	10.555(5)	-0.055
$\text{Zn}^{2+} + \text{His}^- + \text{Trp}^- \rightleftharpoons \text{Zn}(\text{His})(\text{Trp})$	L-Trp, L-His	10.776(8)	
	D-Trp, L-His	10.897(7)	-0.121

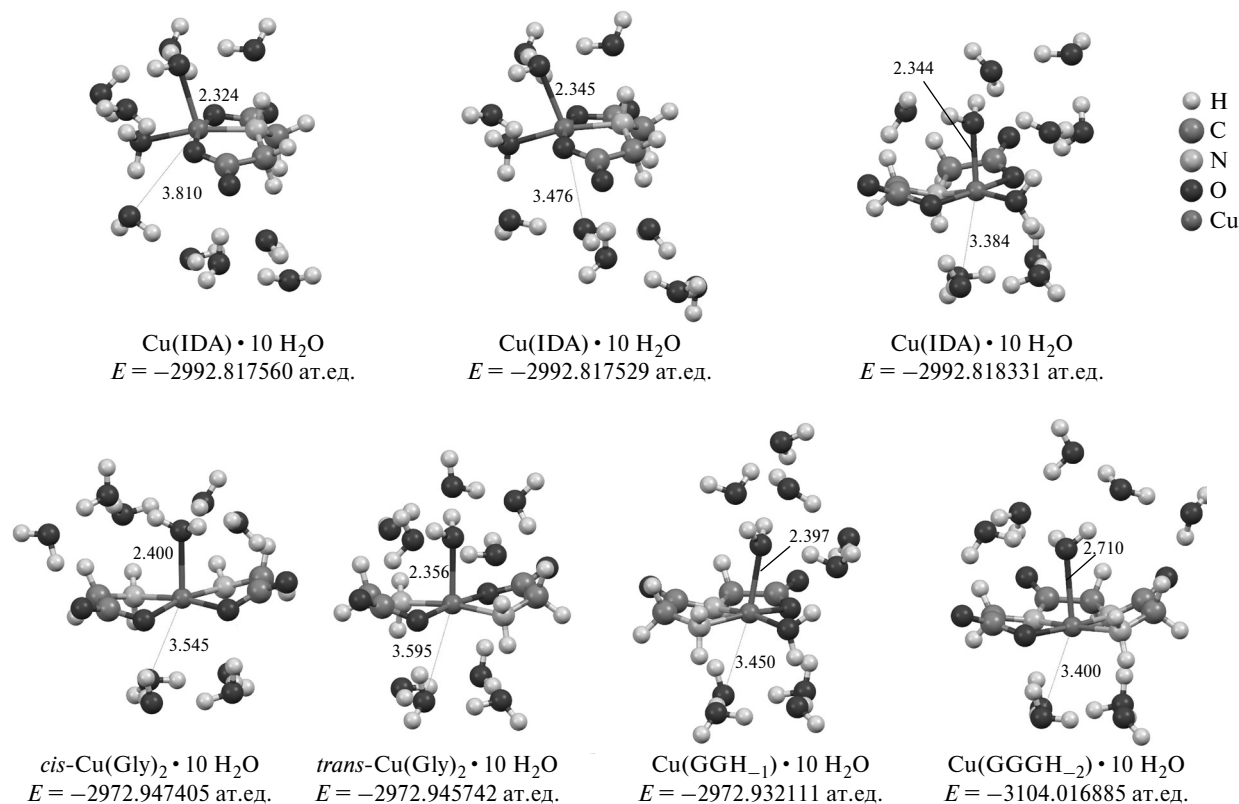


Рис. 3. Структуры и полные энергии комплексов меди(II) с N,O-содержащими лигандами, оптимизированные на уровне CAM-B3LYP/TZVP с учетом эффектов растворителя в модели C-PCM (показаны расстояния в Å)¹⁵.

фицированного силового поля FFWa-SPCE,¹⁸ а также силового поля GROMOS.¹⁹ Результаты таких расчетов для водных растворов показывают, что среднее число молекул воды в первой координационной сфере бис-комплексов меди(II) всегда меньше двух¹⁶. Отметим, что функции радиального распределения атомов кислорода для второй координационной сферы *транс*-изомеров с глицином, серином, лизином (LysH_2^+) и аспаргиновой кислотой обнаруживают один максимум, а для *цис*-изомеров — два максимума (рис. 4). Последнее обусловлено тем, что поле соседних *цис*-карбоксигрупп сильнее притягивает ближние молекулы воды, особенно в случае комплекса *cis*-[Cu(Asp)₂]²⁻.

Отметим, что в недавно опубликованной работе²⁰ расчетами методом DFT/B3LYP подтверждена пентакоординация меди(II) в комплексе $\text{CuCl}_2\text{L}^1\text{L}^2\text{H}_2\text{O}$ (L^1 = 2-амино-4-метилпиримидин, L^2 = 2,3-диаминопиридин). В этой связи представляется спорным объяснение, данное авторами в статье²¹, различий в константах устойчивости комплексов меди(II) с *N*-[трис(гидроксиметил)-метил]- β -аланином по сравнению с *N*-[2-гидрокси-1,1-бис(гидроксиметил)-этил]- β -аланином (трицином) в предположении октаэдрической координации этих комплексов со ссылкой на работу²². В этой работе для кри-

сталла комплекса бис[*N*-(2-гидроксиэтил)- β -аланинато]меди(II) показана слабая аксиальная координация двух спиртовых групп в структуре тетрагонально-искаженного октаэдра. Подобная гексакоординация меди(II) в растворе маловероятна.

Использование совокупности методов (DFT, МД и ЯМР-релаксации) позволяет получить полную информацию о структуре и динамическом поведении первой и второй гидратных оболочек комплексов меди(II) в хорошем согласии с данными эксперимента (табл. 6)^{16,23}. Отметим, что выбор уровня расчета существенно влияет на корректность получаемых результатов. Как видно из таблицы 7, только использование уровня CAM-B3LYP/TZVP с учетом 10 молекул воды в сольватной оболочке и континуальной модели растворителя C-PCM позволяет получить результаты, согласующиеся с данными РСА для кристаллов всех представленных комплексов меди(II)¹⁶ (отмечено курсивом). Тем не менее в дальнейшем для более глубокого понимания важности водородных связей в растворах комплексов металлов с биолигандами и их аналогами все большую ценность будут представлять результаты исследований кристаллосольватов (гидратов и перокксосольватов) с биомолекулами, в частности аминокислотами. Сведения, уже по-

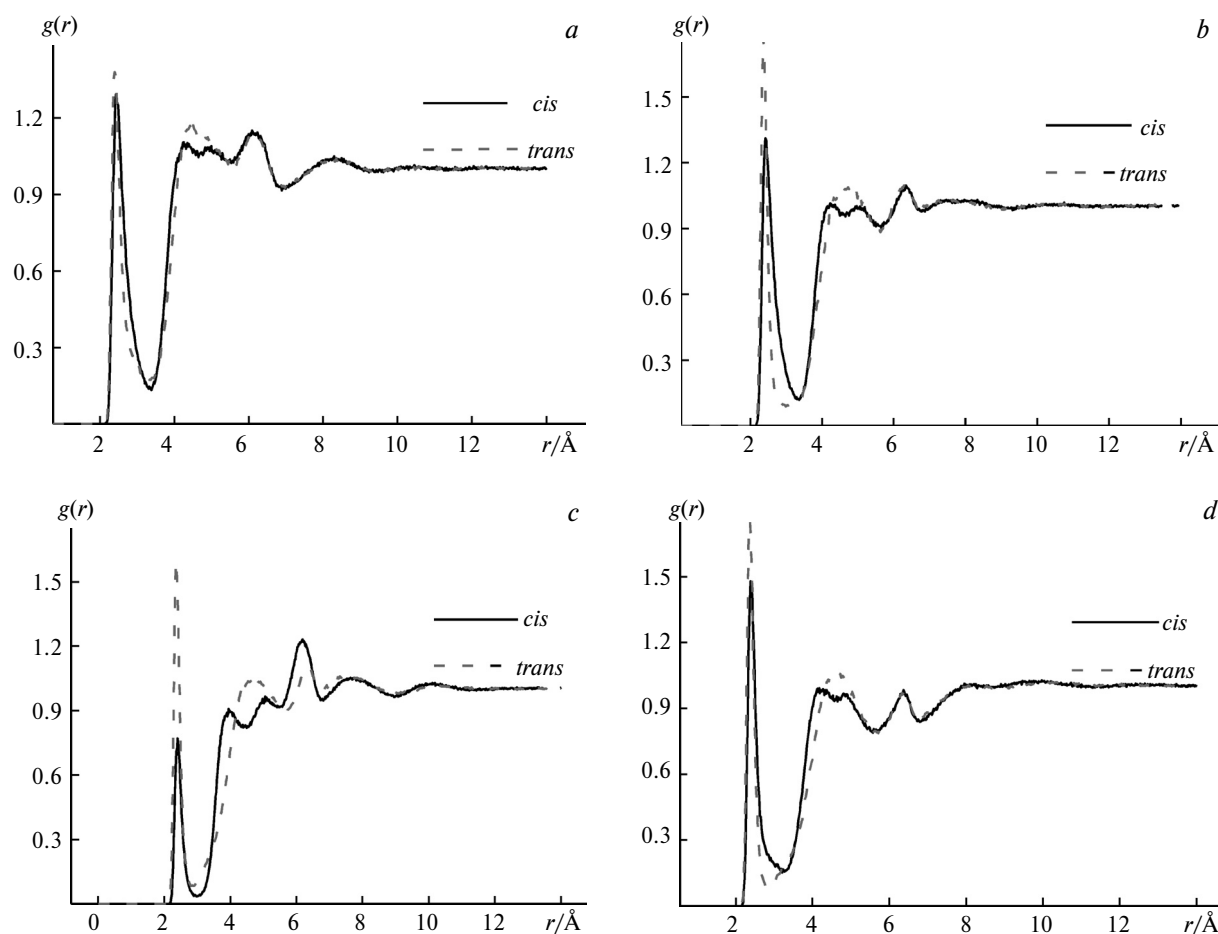


Рис. 4. Функции радиального распределения (ФРР) $\text{Cu}^{\text{II}}-\text{O}(\text{H}_2\text{O})$ сольватированных комплексов, рассчитанные из данных моделирования методом МД в течение 10 нс при 25 °C: $\text{Cu}(\text{Glu})_2$ (a), $\text{Cu}(\text{Ser})_2$ (b), $[\text{Cu}(\text{Asp})_2]^{2-}$ (c), $[\text{Cu}(\text{LysH})_2]^{2+}$ (d).¹⁶

лученные в этой области, приведены в работах^{24,25} (см. также ссылки в них).

Важным фактором стереоселективности служит $d-\pi$ -взаимодействие, проявляющееся

Таблица 6. Результаты, полученные из расчетов методом DFT, функции радиального распределения (ФРР) $\text{Cu}^{\text{II}}-\text{O}(\text{H}_2\text{O})$ и $\text{Cu}^{\text{II}}-\text{H}(\text{H}_2\text{O})$, а также экспериментальные данные метода ЯМР-релаксации: r_1 , r_{H_i} , CN_i — расстояния между Cu^{II} и атомом кислорода молекулы воды, между Cu^{II} и атомами водорода молекулы воды и среднее число молекул в i -й координационной сфере соответственно, $\tau_{\text{M}2}$ — среднее время жизни для второй координационной сферы молекул воды¹⁶

Комплекс	DFT				МД-расчет				ЯМР-релаксация			
	r_1	r_1	CN_1	$r_2/\text{\AA}$	CN_2	r_{H_1}	r_{H_2}	r_{H_1}	r_{H_2}	$\tau_{\text{M}2}/\text{пс}$	теор.	эксп.
	Å				Å		Å		теор.	эксп.		
$\text{Cu}(\text{Gly})_2$												
циклоизомер	2.40	2.44	1.8	4.3	7.7	3.08	4.8	3.1	4.0	5.5	5(1)	
транс-изомер	2.36	2.40	1.6	4.4	7.6	3.15	— ^a	— ^b	— ^b	4.9	— ^b	
$\text{Cu}(\text{L-Ser})_2$												
циклоизомер	2.47	2.43	1.7	4.3	6.8	3.10	4.8	3.2	4.05	6.3	10(2)	
транс-изомер	2.43	2.37	1.1	4.6	7.1	3.07	— ^a	— ^b	— ^b	5.7	— ^b	
$[\text{Cu}(\text{L-Asp})_2]^{2-}$												
циклоизомер	2.38	2.41	0.5	4.0	6.0	3.10	4.8	3.2	4.15	15.4	11(2)	
транс-изомер	2.35	2.37	0.9	4.7	~8	2.83, 3.22	4.8	— ^b	— ^b	9.7	— ^b	
$[\text{Cu}(\text{L-LysH})_2]^{2+}$												
циклоизомер	2.36	2.40	1.4	4.2	7.4	3.10	4.7	3.2	4.05	7.4	9(2)	
транс-изомер	2.34	2.38	1.0	4.6	~8	3.13	— ^a	— ^b	— ^b	7.0	— ^b	

^a Молекулы воды 2-й и 3-й оболочек неразличимы в ФРР $\text{Cu}^{\text{II}}-\text{H}_{\text{воды}}$. ^b циклоизомеры и транс-изомеры неразличимы методом ЯМР-релаксации.

Таблица 7. Расстояния Cu^{II}—O ($r_O/\text{\AA}$) и Cu^{II}—H ($r_{H_1}/\text{\AA}$, $r_{H_2}/\text{\AA}$) для аксиальной молекулы воды в структурах, оптимизированных на уровнях B3LYP/aug-cc-pVTZ, B3LYP/TZVP и CAM-B3LYP/TZVP с учетом модели растворителя C-PCM при различном числе молекул воды в сольватной оболочке¹⁵

Комплекс	B3LYP/aug-cc-pVTZ с C-PCM и 1 молекулой H ₂ O			B3LYP/TZVP с C-PCM и 1 молекулой H ₂ O			CAM-B3LYP/TZVP с C-PCM и 1 молекулой H ₂ O			CAM-B3LYP/TZVP с C-PCM и 10 молекулами H ₂ O			Данные PCA (см. лит. ¹⁵ и ссылки в ней)
	r_O	r_{H_1}	r_{H_2}	r_O	r_{H_1}	r_{H_2}	r_O	r_{H_1}	r_{H_2}	r_O	r_{H_1}	r_{H_2}	
Cu(IDA)	2.46	3.04	3.08	2.37	2.98	3.01	2.31	2.92	2.95	2.34	2.88	2.97	2.38
trans-Cu(Gly) ₂	2.49	3.05	3.17	2.43	2.99	3.10	2.36	2.92	3.05	2.36	2.91	2.93	—
cis-Cu(Gly) ₂	2.56	2.83	3.21	2.48	2.89	3.10	2.40	2.83	3.14	2.40	2.91	2.99	2.40
Cu(GGH ₋₁)	2.54	3.06	3.06	2.47	3.00	3.01	2.39	2.94	2.95	2.40	2.98	3.09	2.3—2.39
[Cu(GGH ₋₂)] ⁻	4.17	4.34	4.94	4.17	4.35	4.96	4.13	4.32	4.92	2.71	3.03	3.40	2.57

во влиянии природы лигандов на параметры спин-гамильтониана, полученные из спектров ЭПР комплексов меди(II) с ди- и трипептидами (табл. 8)^{26–28}. Так, введение в ди- или триглицин ароматического заместителя — фенильного (Phe) или феноксильного (Тир ≡ Y) — приводит к уменьшению g -фактора и увеличению изотропной константы СTC (A_0), что указывает на аксиальное связывание акцепторных групп, явно отражая d—π-взаимодействие. Блокирование единственного аксиального положения ароматическим заместителем олигопептида препятствует координации других лигандов. По этой причине значимая стереоселективность проявляется в образовании гетеролигандных комплексов, содержащих глицил-L-тирофил (GYH) и L- или D-гистидин, включая биядерный комплекс Cu₂(GY·H₋₁)(His)₂, в отличие от аналогичных комплексов с диглицином, где стереоселективность отсутствует (табл. 9).

В соответствии с данными квантово-химических расчетов (рис. 5) стереоселективность образования двух гетеролигандных комплексов с глицил-L-тирофилом объясняется тем, что из-за

сильного *транс*-влияния депротонированного пептидного атома азота аминогруппы гистидина располагается в *цис*-положении. При этом в случае L-гистидина наиболее выгодными являются изомеры с четырьмя экваториально координированными атомами азота, в случае же D-гистидина в экваториальной плоскости присутствует одна карбокси-группа. Отметим, что стереоселективность проявляется и в спектрах поглощения соответствующих комплексов (рис. 6).

В тройных системах с гистидином, триглицином (GGGH) и глицилглицил-L-тирофилом (GGYH) образуются соответственно 5 и 6 гетеролигандных комплексных форм (табл. 10), включая биядерные. Стереоселективность образования проявляется только для комплекса Cu(GGY)(His), при этом по данным расчета наиболее выгодной является структура с L-изомером аминокислоты (рис. 7), когда аминогруппы соседних лигандов находятся в *цис*-положении друг к другу, обеспечивая π—π-стэкинг-взаимодействие между феноксильной и имидазольной группами, что невозможно для *транс*-изомеров.

Таблица 8. Параметры спектров ЭПР комплексов меди(II) с ди- и трипептидами (LH) (25 °C, 1.0 M KNO₃), τ_R — вращательное время корреляции

Система	Комплекс	g_0	A_0	A_N	$\tau_R \cdot 10^{11}/\text{с}$
			Гс	Гс	
Cu ^{II} —GlyGlyH	CuLH ₋₁	2.1232(2)	67.7(2)	14.2(3), 11.8(4)	3.4(2)
	[Cu(LH ₋₁)(OH)] ⁻	2.1190(2)	37.2(3)	12.5(2), 12.2(2)	5.3(2)
Cu ^{II} —GlyTyrH	CuLH ₋₁	2.1207(2)	71.4(2)	14.1(2), 11.7(3)	6.3(2)
	[Cu(LH ₋₁)(OH)] ⁻	2.1164(2)	42.0(3)	12.6(2), 12.2(2)	10.7(6)
Cu ^{II} —TyrLeuH	CuLH ₋₁	2.1196(2)	72.0(3)	14.3(3), 11.8(4)	7.0(4)
	[Cu(LH ₋₁)(OH)] ⁻	2.1137(3)	43.3(4)	12.5(3), 12.0(3)	12.9(8)
Cu ^{II} —TyrPheH	CuLH ₋₁	2.1202(2)	71.7(2)	14.3(3), 11.7(4)	8.5(6)
	[Cu(LH ₋₁)(OH)] ⁻	2.1161(3)	42.4(4)	12.6(2), 12.5(2)	12.8(7)
Cu ^{II} —TyrTyrH	CuLH ₋₁	2.1187(2)	69.6(2)	14.5(2), 11.4(2)	10.3(5)
	[Cu(LH ₋₁)(OH)] ⁻	2.1163(2)	42.4(2)	12.5(1), 12.4(1)	19(1)
Cu ^{II} —GlyGlyGlyH	[Cu((LH ₋₂)] ⁻	2.0947(3)	80.9(2)	17.2(3), 14.5(3), 8.4(3)	4.3(1)
Cu ^{II} —GlyGlyTyrH	[Cu(LH ₋₂)] ⁻	2.0918(2)	83.6(2)	17.5(2), 14.6(2), 8.2(3)	8.0(2)
	[Cu(LH ₋₃)] ²⁻	2.0925(2)	83.0(2)	17.2(2), 14.7(2), 8.3(3)	9.5(3)

Таблица 9. Логарифмы констант образования ($\lg\beta$) гетеролигандных комплексов в системах медь(II)–L/D-HisH–дипептид (глицилглицин (GlyGlyH=GGH)/глицил-L-тирофен (GlyTyrH = GYH)) (25.0 °C, 1.0 M KNO₃)

Равновесие	$\lg\beta$		$\Delta\lg\beta$
	L-His	D-His	
$\text{Cu}^{2+} + \text{GG}^- + \text{HisH} \rightleftharpoons [\text{Cu}(\text{GG})(\text{HisH})]^+$	10.74(2)	10.75(2)	-0.010
$\text{Cu}^{2+} + \text{GG}^- + \text{His}^- \rightleftharpoons \text{Cu}(\text{GG})(\text{His})$	15.416(7)	15.410(7)	0.006
$\text{Cu}^{2+} + \text{GG}^- + \text{His}^- \rightleftharpoons [\text{Cu}(\text{GG} \cdot \text{H}_{-1})(\text{His})]^- + \text{H}^+$	6.91(1)	6.88(3)	0.030
$\text{Cu}^{2+} + \text{GG}^- + \text{His}^- \rightleftharpoons [\text{Cu}(\text{GG} \cdot \text{H}_{-1})(\text{HisH}_{-1})]^{2-} + 2 \text{H}^+$	-4.49(1)	-4.46(2)	-0.030
$2 \text{Cu}^{2+} + \text{GG}^- + 2 \text{His}^- \rightleftharpoons \text{Cu}_2(\text{GG} \cdot \text{H}_{-1})(\text{HisH}_{-1}) + \text{H}^+$	21.90(4)	21.87(5)	0.030
$\text{Cu}^{2+} + \text{GY}^- + \text{HisH} \rightleftharpoons [\text{Cu}(\text{GY})(\text{HisH})]^+$	10.64(3)	10.65(3)	-0.010
$\text{Cu}^{2+} + \text{GY}^- + \text{His}^- \rightleftharpoons \text{Cu}(\text{GY})(\text{His})$	15.455(9)	15.421(9)	0.034
$\text{Cu}^{2+} + \text{GY}^- + \text{His}^- \rightleftharpoons [\text{Cu}(\text{GY} \cdot \text{H}_{-1})(\text{His})]^- + \text{H}^+$	7.00(1)	6.87(1)	0.13
$\text{Cu}^{2+} + \text{GY} \cdot \text{H}_{-1}^{2-} + \text{His}^- \rightleftharpoons [\text{Cu}(\text{GY} \cdot \text{H}_{-2})(\text{His})]^{2-} + \text{H}^+$	6.857(7)	6.817(7)	0.040
$2 \text{Cu}^{2+} + \text{GY}^- + 2 \text{His}^- \rightleftharpoons \text{Cu}_2(\text{GY} \cdot \text{H}_{-1})(\text{His}) + \text{H}^+$	22.89(1)	22.75(1)	0.14

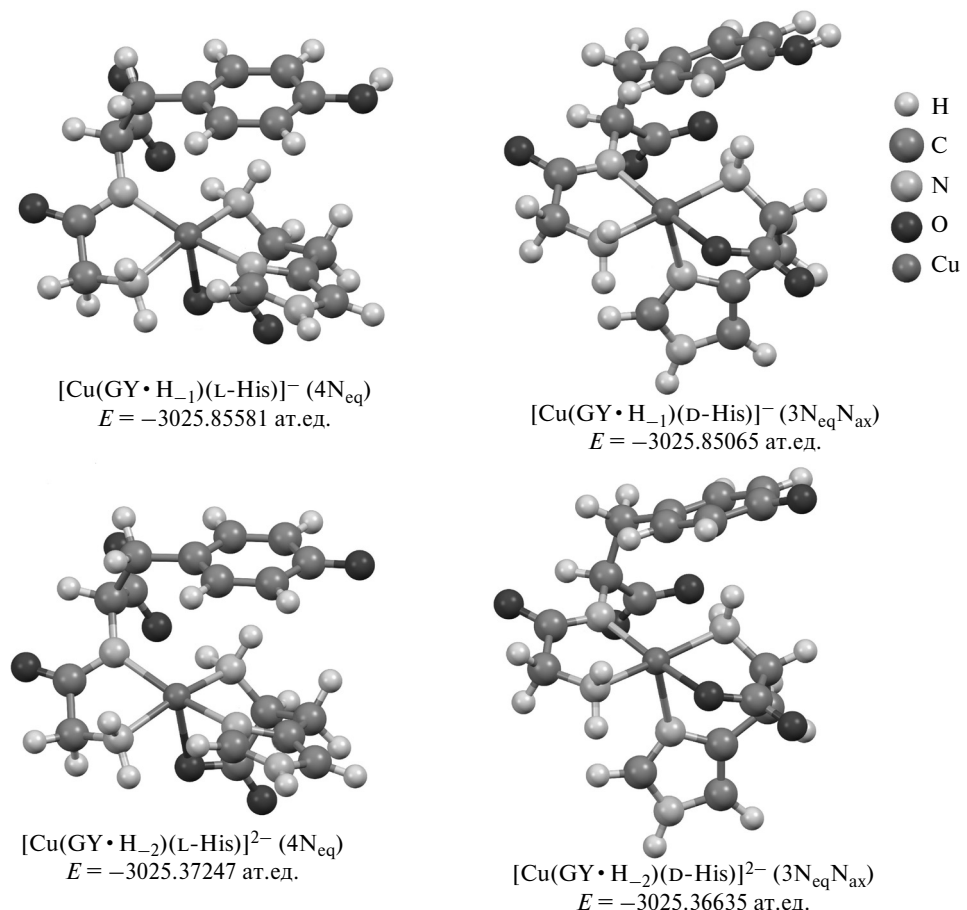


Рис. 5. Структуры и полные энергии гетеролигандных комплексов меди(II) с глицил-L-тирофеном (GYH) и L/D-гистидином (HisH), оптимизированные в программном пакете ORCA на уровне PBE/TZVPP с учетом модели растворителя C-PCM.

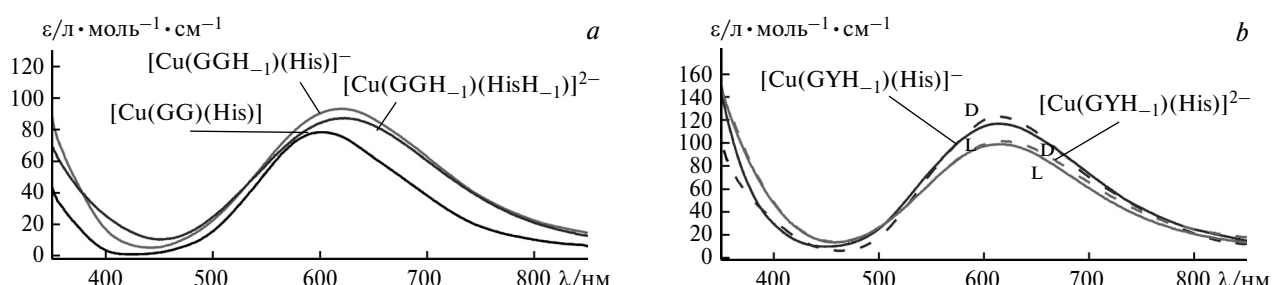


Рис. 6. Реконструированные спектры поглощения гетеролигандных комплексов меди(II) с L/D-гистидином (HisH) и глицил-глицином (GGH) (a), глицил-L-тирофеном (GYH) (b); 25 °C, 1.0 M KNO₃.

Таблица 10. Логарифмы констант образования ($\lg\beta$) гетеролигандных комплексов в системах медь(II)–L/D-HisH–трипептид (глицилглицилглицин (GGH)/глицилглицил-L-тирозин (GGYH)) (25.0 °C, 1.0 M KNO₃)^{27,28}

Равновесие	$\lg\beta$		$\Delta\lg\beta$
	L-His	D-His	
$\text{Cu}^{2+} + \text{GGG}^- + \text{HisH} \rightleftharpoons [\text{Cu}(\text{GGG})(\text{HisH})]^+$	10.56(2)	10.58(2)	-0.02
$\text{Cu}^{2+} + \text{GGG}^- + \text{His}^- \rightleftharpoons \text{Cu}(\text{GGG})(\text{His})$	14.915(5)	14.906(6)	0.011
$\text{Cu}^{2+} + \text{GGG}^- + \text{His}^- \rightleftharpoons [\text{Cu}(\text{GGG} \cdot \text{H}_{-1})(\text{His})]^- + \text{H}^+$	6.39(2)	6.36(2)	0.03
$\text{Cu}^{2+} + \text{GGG}^- + \text{His}^- \rightleftharpoons [\text{Cu}(\text{GGG} \cdot \text{H}_{-2})(\text{His})]^{2-} + 2 \text{H}^+$	-4.141(8)	-4.126(9)	0.015
$2 \text{Cu}^{2+} + \text{GGG}^- + 2 \text{His}^- \rightleftharpoons [\text{Cu}_2(\text{GGG} \cdot \text{H}_{-2})(\text{His})(\text{HisH}_{-1})]^{2-} + 3 \text{H}^+$	1.99(8)	2.04(8)	-0.05
$\text{Cu}^{2+} + \text{GGY}^- + \text{HisH} \rightleftharpoons [\text{Cu}(\text{GGY})(\text{HisH})]^+$	10.75(1)	10.76(1)	-0.01
$\text{Cu}^{2+} + \text{GGY}^- + \text{His}^- \rightleftharpoons \text{Cu}(\text{GGY})(\text{His})$	15.086(3)	14.983(4)	0.103
$\text{Cu}^{2+} + \text{GGY}^- + \text{His}^- \rightleftharpoons [\text{Cu}(\text{GGY} \cdot \text{H}_{-1})(\text{His})]^- + \text{H}^+$	6.72(1)	6.74(2)	-0.02
$\text{Cu}^{2+} + [\text{GGY} \cdot \text{H}_{-1}]^{2-} + \text{His}^- \rightleftharpoons [\text{Cu}(\text{GGY} \cdot \text{H}_{-2})(\text{His})]^{2-} + \text{H}^+$	6.94(1)	6.91(2)	0.03
$2 \text{Cu}^{2+} + \text{GGY}^- + 2 \text{His}^- \rightleftharpoons \text{Cu}_2(\text{GGY} \cdot \text{H}_{-1})(\text{His})_2 + \text{H}^+$	20.65(9)	20.61(8)	0.04
$2 \text{Cu}^{2+} + [\text{GGY} \cdot \text{H}_{-1}]^{2-} + 2 \text{His}^- \rightleftharpoons [\text{Cu}_2(\text{GGY} \cdot \text{H}_{-3})(\text{His})(\text{HisH}_{-1})]^{3-} + 3 \text{H}^+$	2.34(5)	2.37(6)	-0.03

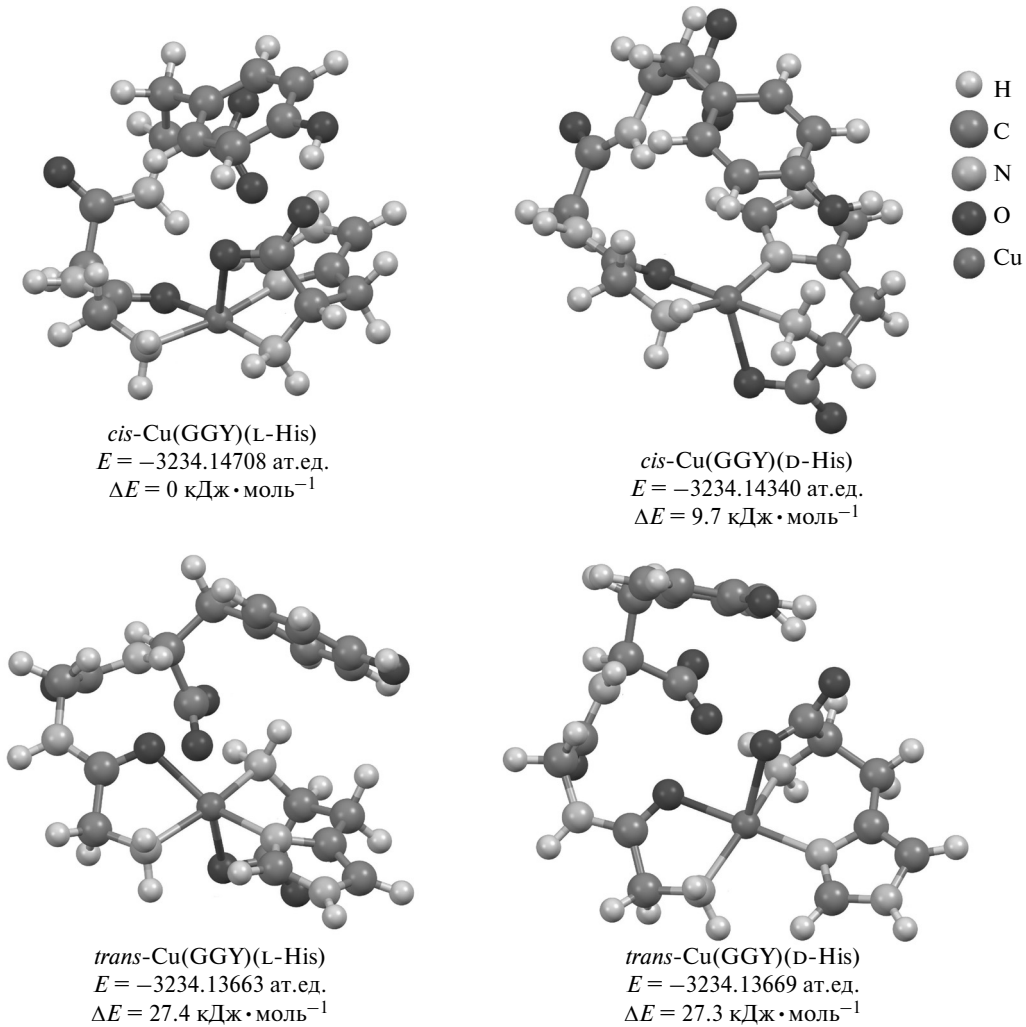


Рис. 7. Структуры и полные энергии наиболее стабильных гетеролигандных комплексов меди(II) с глицилглицил-L-тирозином (GGYH) и L/D-гистидином (HisH), оптимизированные на уровне B3LYP/TZVPP с учетом эффектов растворителя в модели C-PCM и дисперсионной коррекции (D3BJ)²⁸.

Модифицированная программа²⁹ в режиме быстрого движения и пакет программы EasySpin³⁰ в приближении медленного движения наряду

с программой STALABS-M позволяют реконструировать спектры ЭПР и электронные спектры поглощения многих образующихся ком-

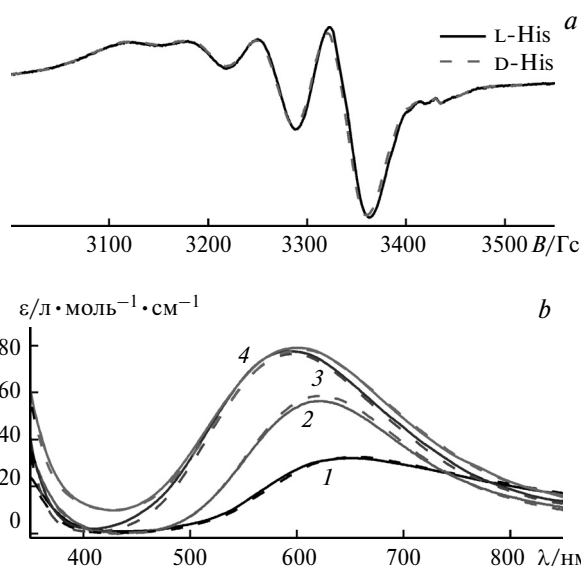


Рис. 8. Экспериментальные спектры ЭПР в системах медь(II)–глицилглицил-L-тироzin–L/D-гистидин (1 : 1 : 1) (рН 6.60, 25 °C) (а) и реконструированные спектры поглощения гетеролигандных комплексов меди(II) с глицилглицил-L-тироzinом (GGYH) и L/D-гистидином (HisH) при 25 °C (б), 1.0 M KNO₃: 1 – $[\text{Cu}(\text{GGY})(\text{HisH})]^+$, 2 – $\text{Cu}(\text{GGY})(\text{His})$, 3 – $[\text{Cu}(\text{GGY}\cdot\text{H}_1)(\text{His})]^-$, 4 – $[\text{Cu}(\text{GGY}\cdot\text{H}_2)(\text{His})]^{2-}$.²⁸

плексных форм (рис. 8), выявляя стереоселективность образования одного из них – $\text{Cu}(\text{GGY})(\text{His})$.²⁸

Методом остановленной струи исследована кинетика замещения олигопептидных лигандов на гистидин в условиях псевдопервого порядка^{27,28}. Из зависимостей на рисунке 9 видно, что с ростом pH происходит увеличение скорости замещения. Для замещения на гистидин три- и дипептидных лигандов предложена схема, состоящая из трех и двух стадий соответственно (схема 1).

В обоих случаях определяющей скорость является последняя стадия, причем активность в замещении проявляют как анионная, так и про-

тонированная форма гистидина (с константами k_3 и k_3' соответственно). Из таблицы 11 очевидно, что скорость замещения лигандов уменьшается с введением феноксильной группы как для дипептидов, так и для трипептидов, что объясняется стерическим блокированием боковой группой тирозина одного из аксиальных положений меди(II) как места атаки вступающего лиганда. Для замещения глицил-L-тироцина или глицилглицил-L-тироцина на гистидинат-анион наблюдается статистически значимая стереоселективность (см. табл. 11).

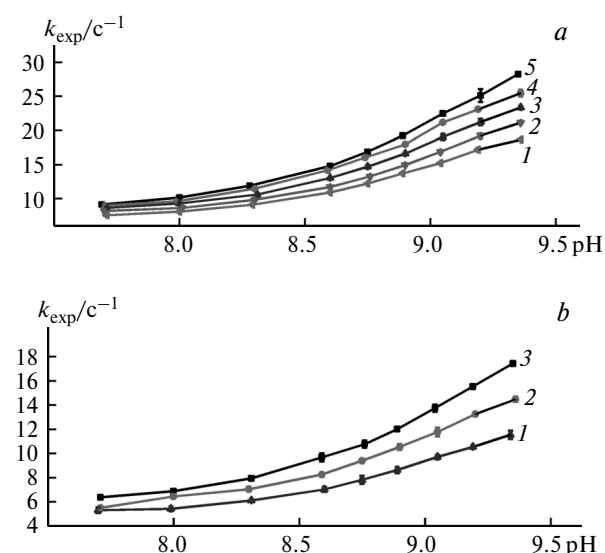


Рис. 9. Зависимости наблюдаемых констант скорости (k_{exp}) от pH в системах медь(II)–глицилглицилглицин–L-гистидин (1 : 1 : 10) (а; концентрация His: 0.03 (1), 0.032 (2), 0.040 (3), 0.045 (4), 0.05 моль·л⁻¹ (5)) и медь(II)–глицилглицил-L-тироzin–L-гистидин (1 : 1 : 10) (б; концентрация His: 0.03 (1), 0.04 (2), 0.05 моль·л⁻¹ (3)), полученные методом остановленной струи путем смешивания эквивалентных объемов растворов I и II с регистрацией при $\lambda = 550$ нм ($l = 1$ см); I – Cu^{II} , GGH·H (а)/ Cu^{II} , GGY·H (б); II – L-HisH (а, б); $C_{\text{Tris}} = 0.1$ моль·л⁻¹, $T = 298$ К.^{27,28}

Схема 1

$$v = k_{\text{obs}}[[\text{Cu}(\text{LH}_{-2})]^-] = (k_0 + k_L[\text{His}^-] + k_{\text{LH}}[\text{HisH}])[[\text{Cu}(\text{LH}_{-2})]^-]$$

$$k_{\text{obs}} = k_0 + k_L[\text{His}^-] + k_{\text{LH}}[\text{HisH}] = k_0 + k_{\text{LH}} \cdot C_{\text{HisH}} + (k_L - k_{\text{LH}})[\text{His}^-]$$

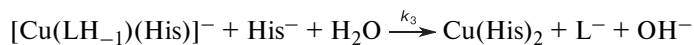
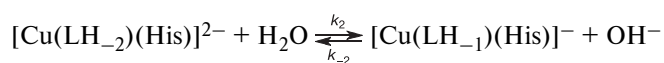
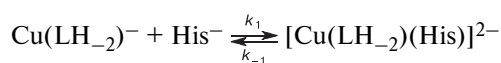
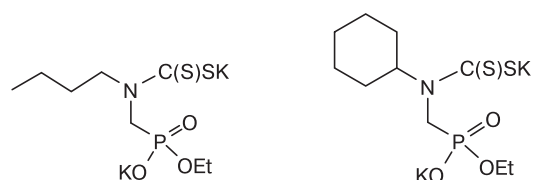
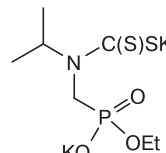
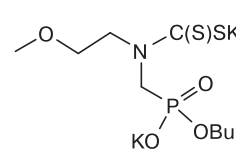


Таблица 11. Константы скорости реакций замещения L/D/
DL-гистидином олигопептидных лигандов из комплексов
меди(II) (25 °C, 1.0 M KNO₃, буфер Tris)^{27,28}

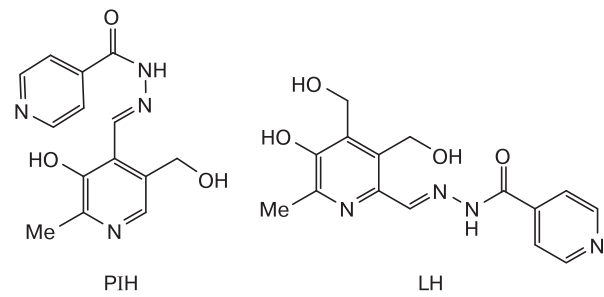
Комплекс	Амино- кислота	$k_0/\text{с}^{-1}$ моль ⁻¹ · л · с ⁻¹	k_{LH}	k_{L}
Cu(GG·H ₋₁)	L-Гистидин	0.7±0.1	34.9±1.6	359±6
Cu(GG·H ₋₁)	DL-Гистидин	0.9±0.1	32.8±2.0	337±7
Cu(GY·H ₋₁)	L-Гистидин	0.20±0.01	—	26.7±1.0
Cu(GY·H ₋₁)	D-Гистидин	0.25±0.01	—	21.8±0.7
[Cu(GGG·H ₋₂)] ²⁻	L-Гистидин	4.9±0.2	68.7±6.0	740±6
[Cu(GGG·H ₋₂)] ²⁻	DL-Гистидин	4.1±0.3	87.7±8.5	782±6
[Cu(GGY·H ₋₂)] ²⁻	L-Гистидин	3.46±0.03	44.9±0.7	439±5
[Cu(GGY·H ₋₂)] ²⁻	D-Гистидин	3.37±0.10	43.9±3.1	459±3

Особый интерес представляют комплексы меди(II) с фосфорилированными дитиокарбаматами (PDTС), синтезированными впервые³¹. Как видно из таблицы 12, полученные методом СФ-метрии константы образования гетеролигандных комплексов с этими дитиокарбаматами и ароматическими N-донорами, включая 1,10-фенантролин (phen) и 2-метилдипиридо[3,2-f:2',3'-h]хиноксалин (MeDPQ), демонстрируют их значительную экстраполибилизацию по стандартному критерию $\lg X = 2 \lg \beta_{\text{MAB}} - \lg \beta_{\text{MA}_2} - \lg \beta_{\text{MB}_2}$ (индексы отвечают гетеролигандному комплексу состава MAB и гомолигандным бис-комплексам составов MA₂ и MB₂ соответственно, статистическая оценка $\lg X = 0.60$). Этот факт объясняется сильным d—π-взаимодействием с переносом электронной плотности с π-донорных орбиталей карбокси-групп аминокислот через центральный ион на π-акцепторные орбитали ароматических N-доноров. Важно, что именно эти комплексы проявляют наиболее высокую антибактериальную активность среди всех исследованных нами соединений³².

Особо отметим, что в Научно-образовательном центре фармацевтики Казанского федерального университета синтезированы новые изоникотиноилгидразоны с производными витамина B₆, один из которых, (E/Z)-N'-(5-гидрокси-3,4-

K₂Bu(OEt)PDTcK₂cHex(OEt)PDTcK₂Pr'(OEt)PDTcK₂EtOMe(OBu)PDTc

бис(гидроксиметил)-6-метилпиридин-2-ил]метилен}изоникотиногидразид (LH), проявил наивысшую антибактериальную активность³³. Методом РСА в работе³³ охарактеризована структура нового лиганда LH в виде E-изомера (рис. 10), а методом СФ-метрии определены константы образования ряда комплексов этого лиганда с 3d-металлами. Лидерный лиганд (LH) является перспективным кандидатом в противотуберкулезные средства, намного превосходящим в этом отношении известный препарат пиридоксаль-изоникотиноилгидразон (PIH)³³.



Исследования в данном направлении продолжаются.

Таким образом, можно отметить основные факторы, контролирующие стереоселективность комплексообразования, устойчивость комплексов и кинетику реакций замещения лигандов:

Таблица 12. Константы образования комплексов меди(II) с фосфорилированными дитиокарбаматами и ароматическими N-донорами — phen и MeDPQ (37.0 °C, 0.15 M NaCl)

Лиганд (PDTs)	$[\text{Cu}(\text{PDTc})_2]^{2-}$		$\text{Cu}(\text{phen})(\text{PDTc})$		$\text{Cu}(\text{MeDPQ})(\text{PDTc})$	
	$\lg \beta$	$\lg \beta$	$\lg \beta$	$\lg X$	$\lg \beta$	$\lg X$
[Bu(OEt)PDTc] ²⁻	16.3(2)	16.96(6)	3.32	16.64(5)	4.49	
[cHex(OEt)PDTc] ²⁻	16.8(4)	17.17(3)	3.21	17.01(3)	4.71	
[Pr'(OEt)PDTc] ²⁻	16.30(2)	16.83(5)	3.06	16.50(4)	4.21	
[EtOMe(OBu)PDTc] ²⁻	16.7(1)	16.17(3)	2.71	16.34(6)	3.54	

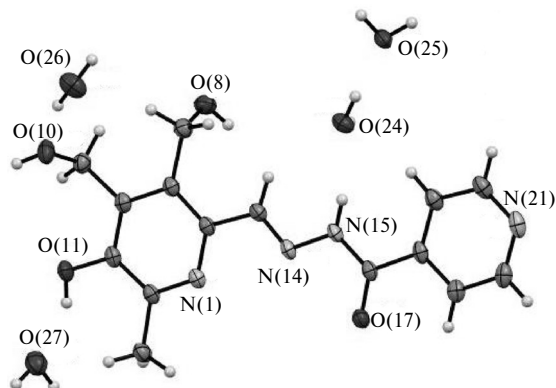


Рис. 10. Структура *E*-изомера LH по данным РСА³³.

- *транс*-влияние;
- сольватационные взаимодействия;
- образование внутрикомплексных водородных связей;
- новый тип слабого взаимодействия тиометильная группа—имидаольный цикл;
- «мягкость» лиганда и центрального иона;
- π — π -стэкинг-взаимодействие;
- эффект межлигандных водородных связей;
- пентакоординционное окружение меди(II) в растворах;
- d— π -взаимодействие металл—лиганд;
- стерическое блокирование аксиального положения меди(II).

Отметим, что методология исследований, позволяющая получать полноценные сведения о координационных соединениях, предусматривает квалифицированное использование комплекса взаимодополняющих спектральных методов, включая СФ-метрию, ЭПР, ЯМР-релаксацию, РСА, метод остановленной струи со спектральной регистрацией, pH-метрию, в сочетании с математическим моделированием при помощи ряда современных программ, а также корректные расчеты методами МД и квантовой химии высокого уровня.

Работа выполнена при финансовой поддержке Государственной программы повышения конкурентоспособности Казанского федерального университета и субсидии, выделенной Казанскому федеральному университету на выполнение государственного задания в сфере научной деятельности Министерства науки и высшего образования Российской Федерации (№ 0671-2020-0061), а также при финансовой поддержке Российского фонда фундаментальных исследований (проекты № 16-33-00674, 16-33-00691, 18-33-20072 и 20-33-90235).

Настоящая статья не содержит описания исследований с использованием в качестве объектов животных и людей.

Авторы заявляют об отсутствии конфликта интересов в финансовой или какой-либо иной сфере.

Список литературы

1. В. Г. Штырлин, Н. Ю. Серов, М. С. Бухаров, Э. М. Гилязетдинов, М. А. Жернаков, М. А. Ахмед, А. Р. Гарифзянов, И. И. Мирзаянов, А. В. Ермолаев, Н. С. Аксенин, К. В. Уразаева, А. В. Захаров, *Спектроскопия координационных соединений (Сб. науч. трудов XIX Междунар. конф., Туапсе, 18–23 сентября 2022 г.)*, Краснодар, Кубанский гос. ун-т, 2022, с. 210.
2. А. А. Крутиков, В. Г. Штырлин, А. О. Спиридонов, Н. Ю. Серов, А. Н. Ильин, М. С. Бухаров, Е. М. Гилязетдинов, *J. Phys. Conf. Ser.*, 2012, **394**, 012031; DOI: 10.1088/1742-6596/394/1/012031.
3. В. Г. Штырлин, Е. М. Гилязетдинов, Н. Ю. Серов, Д. Ф. Рурус, М. С. Бухаров, А. А. Крутиков, Н. С. Аксенин, А. И. Гизатуллин, А. В. Захаров, *Inorg. Chim. Acta*, 2018, **477**, 135–147; DOI: 10.1016/j.ica.2018.02.018.
4. М. В. Schmidt, К. К. Baldridge, J. A. Boatz, S. T. Elbert, М. С. Gordon, J. H. Jensen, S. Koseki, N. Matsunaga, K. A. Nguyen, S. J. Su, T. L. Windus, M. Dupuis, J. A. Montgomery, *J. Comput. Chem.*, 1993, **14**, 1347–1363; DOI: 10.1002/jcc.540141112.
5. F. Neese, *WIREs Comput. Molec. Sci.*, 2012, **2**, 73–78; DOI: 10.1002/wcms.81.
6. W. Kohn, A. D. Becke, R. G. Parr, *J. Phys. Chem.*, 1996, **100**, 12974–12980; DOI: 10.1021/jp9606691.
7. A. D. Becke, *J. Chem. Phys.*, 1993, **98**, 5648–5652; DOI: 10.1063/1.464913.
8. C. Lee, W. Yang, R. G. Parr, *Phys. Rev. B*, 1988, **37**, 785–789. DOI: 10.1103/PhysRevB.37.785.
9. T. Yanai, D. P. Tew, N. C. Handy, *Chem. Phys. Lett.*, 2004, **393**, 51–57; DOI: 10.1016/j.cplett.2004.06.011.
10. A. Schäfer, C. Huber, R. Ahlrichs, *J. Chem. Phys.*, 1994, **100**, 5829–5835; DOI: 10.1063/1.467146.
11. J. P. Perdew, K. Burke, M. Ernzerhof, *Phys. Rev. Lett.*, 1996, **77**, 3865–3868; DOI: 10.1103/PhysRevLett.77.3865.
12. M. Cossi, N. Rega, G. Scalmani, V. Barone, *J. Comput. Chem.*, 2003, **24**, 669–681; DOI: 10.1002/jcc.10189.
13. Э. М. Гилязетдинов, В. Г. Штырлин, Н. Ю. Серов, Л. А. Романова, М. С. Бухаров, *Тез. докл. XX Менделеевского съезда по общей и прикладной химии (Екатеринбург, 26–30 сентября 2016 г.)*, Уральское отделение РАН, 2016, т. 1, с. 168.
14. Е. М. Гилязетдинов, М. С. Бухаров, Л. А. Романова, Н. Ю. Серов, В. Г. Штырлин, *27th Int. Chugaev Conf. on Coordination Chemistry (N. Novgorod, October 2–6, 2017)*, Book of Abstracts, N. Novgorod, 2017, p. 32.
15. М. С. Бухаров, В. Г. Штырлин, Г. В. Мамин, С. Стапф, С. Маттеа, А. С. Муктаров, Н. Ю. Серов, Е. М. Гилязетдинов, *Inorg. Chem.*, 2015, **54**, 9777–9784; DOI: 10.1021/acs.inorgchem.5b01467.
16. М. С. Бухаров, В. Г. Штырлин, Е. М. Гилязетдинов, Н. Ю. Серов, Т. И. Маджидов, *J. Comput. Chem.*, 2018, **39**, 821–826; DOI: 10.1002/jcc.25154.

17. M. J. Abraham, T. Murtola, R. Schulz, S. Pall, J. C. Smith, B. Hess, E. Lindahl, *SoftwareX*, 2015, **1–2**, 19; DOI: 10.1016/j.softx.2015.06.001.
18. J. Sabolović, V. Gomzi, *J. Chem. Theory Comput.*, 2009, **5**, 1940–1954; DOI: 10.1021/ct9000203.
19. N. Schmid, A. P. Eichenberger, A. Choutko, S. Riniker, M. Winger, A. E. Mark, W. F. van Gunsteren, *Eur. Biophys. J.*, 2011, **40**, 843–856; DOI: 10.1007/s00249-011-0700-9.
20. M. S. Al-Fakeh, S. Messaoudi, F. I. Alresheedi, A. E. Albadri, W. A. El-Sayed, E. E. Saleh, *Crystals*, 2023, **13**, 118; DOI: 10.3390/crust13010118.
21. Г. П. Жарков, О. В. Филимонова, Ю. С. Петрова, А. В. Пестов, Л. К. Неудачина, *Изв. АН. Сер. хим.*, 2022, **71**, 152 [G. P. Zharkov, O. V. Filimonova, Yu. S. Petrova, A. V. Pestov, L. K. Neudachina, *Russ. Chem. Bull.*, 2022, **71**, 152; DOI: 10.1007/s11172-022-3389-2].
22. A. V. Pestov, E. V. Peresypkina, A. V. Virovets, N. V. Podberezkaya, Y. G. Yatluk, Y. A. Skorik, *Acta Crystallogr. C*, 2005, **61**, m510; DOI: 10.1107/s0108270105033780.
23. M. S. Bukharov, V. G. Shtyrlin, A. Sh. Mukhtarov, G. V. Mamin, S. Stapf, C. Mattea, A. A. Krutikov, A. N. Il'in, N. Yu. Serov, *Phys. Chem. Chem. Phys.*, 2014, **16**, 9411–9421; DOI: 10.1039/c4cp00255e.
24. Л. Г. Кузьмина, А. В. Чураков, *Изв. АН. Сер. хим.*, 2022, **71**, 283 [L. G. Kuz'mina, A. V. Churakov, *Russ. Chem. Bull.*, 2022, **71**, 283; DOI: 10.1007/s11172-022-3409-2].
25. А. Г. Медведев, А. А. Михайлов, П. В. Приходченко, Т. А. Трипольская, О. Лев, А. В. Чураков, *Изв. АН. Сер. хим.*, 2013, **62**, 1871 [A. G. Medvedev, A. A. Mikhailov, P. V. Prikhodchenko, T. A. Tripol'skaya, O. Lev, A. V. Churakov, *Russ. Chem. Bull.*, 2013, **62**, 1871; DOI: 10.1007/s11172-013-0269-9].
26. N. Yu. Serov, A. V. Ermolaev, V. G. Shtyrlin, *27th Int. Chugaev Conf. on Coordination Chemistry (N. Novgorod, October 2–6, 2017), Book of Abstracts*, N. Novgorod, 2017, p. Y38.
27. N. Yu. Serov, V. G. Shtyrlin, M. S. Bukharov, A. V. Ermolaev, E. M. Gilyazetdinov, A. A. Rodionov, *Polyhedron*, 2021, **197**, 115041; DOI: 10.1016/j.poly.2021.115041.
28. N. Yu. Serov, V. G. Shtyrlin, M. S. Bukharov, A. V. Ermolaev, E. M. Gilyazetdinov, K. V. Urazaeva, A. A. Rodionov, *Polyhedron*, 2022, **228**, 116176; DOI: 10.1016/j.poly.2022.116176.
29. R. R. Garipov, V. G. Shtyrlin, D. A. Safin, Yu. I. Zyavkina, F. D. Sokolov, A. L. Konkin, A. V. Aganov, A. V. Zakharov, *Chem. Phys.*, 2006, **320**, 59–74; DOI: 10.1016/j.chemphys.2005.06.026.
30. S. Stoll, A. Schweiger, *J. Magn. Reson.*, 2006, **178**, 42–55; 10.1016/j.jmr.2005.08.013.
31. I. I. Mirzayanov, A. R. Garifzyanov, D. R. Islamov, V. G. Shtyrlin, *Russ. J. Gen. Chem.*, 2020, **90**, 381–384; DOI: 10.1134/S1070363220030081.
32. М. С. Бухаров, Э. М. Гилязетдинов, Н. Ю. Серов, А. И. Гизатуллин, А. В. Ермолов, Н. С. Аксенин, А. Р. Гарифзянов, И. И. Мирзаянов, Д. Р. Исламов, В. Г. Штырлин, *Сб. материалов XIV Всерос. молодежной научно-инновационной школы «Математика и математическое моделирование» (Саров, 7–9 апреля 2020 г.)*, Саров, Интерконтакт, 2020, с. 15–16.
33. N. V. Shtyrlin, R. M. Khaziev, V. G. Shtyrlin, E. M. Gilyazetdinov, M. N. Agafonova, T. I. Vinogradova, M. Z. Dogonadze, N. V. Zabolotnykh, E. G. Sokolovich, P. K. Yablonskiy, Y. G. Shtyrlin, *Med. Chem. Res.*, 2021, **30**, 952–964; DOI: 10.1007/s00044-021-02705-w.

Поступила в редакцию 23 ноября 2022;
после доработки — 13 января 2023;
принята к публикации 23 января 2023
